MINISTÉRIO DE MINAS E ENERGIA
SECRETARIA DE GEOLOGIA, MINERAÇÃO E TRANSFORMAÇÃO MINERAL
CPRM - SERVIÇO GEOLÓGICO DO BRASIL

CARTA GEOLÓGICA
FOLHA SANTA TEREZINHA DE GOIÁS - SD.22-Z-A-III
ESCALA 1:100.000
UNB/FINATEC/CPRM 2007

SD.22-Z-A-III - SANTA TEREZINHA DE GOIÁS

PROGRAMA GEOLOGIA DO BRASIL
CARTA GEOLÓGICA - ESCALA 1:100.000

ENCARTE TECTÔNICO

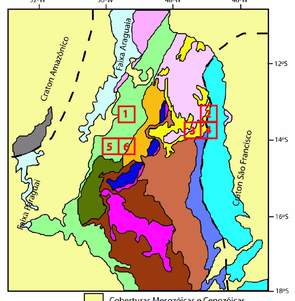

Folhas: 1. Porangatu, 2. Monte Alegre de Goiás, 3. Cavalcante, 4. Nova Roma, 5. Santa Terezinha de Goiás, 6. Campinorte

MODELO DIGITAL DO TERRENO

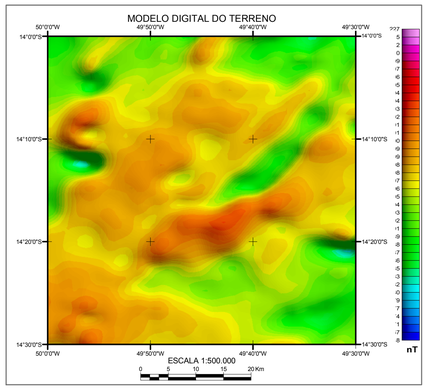

MODELO DIGITAL DO TERRENO

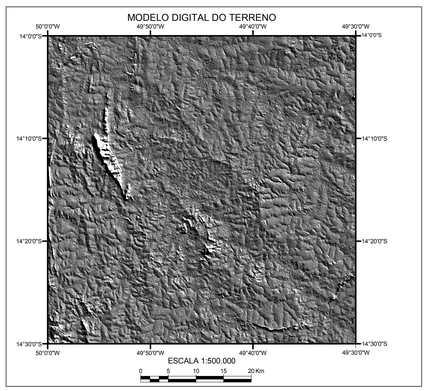

FUSÃO MDT x GEOLOGIA

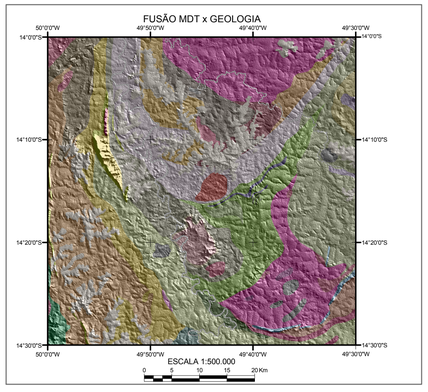

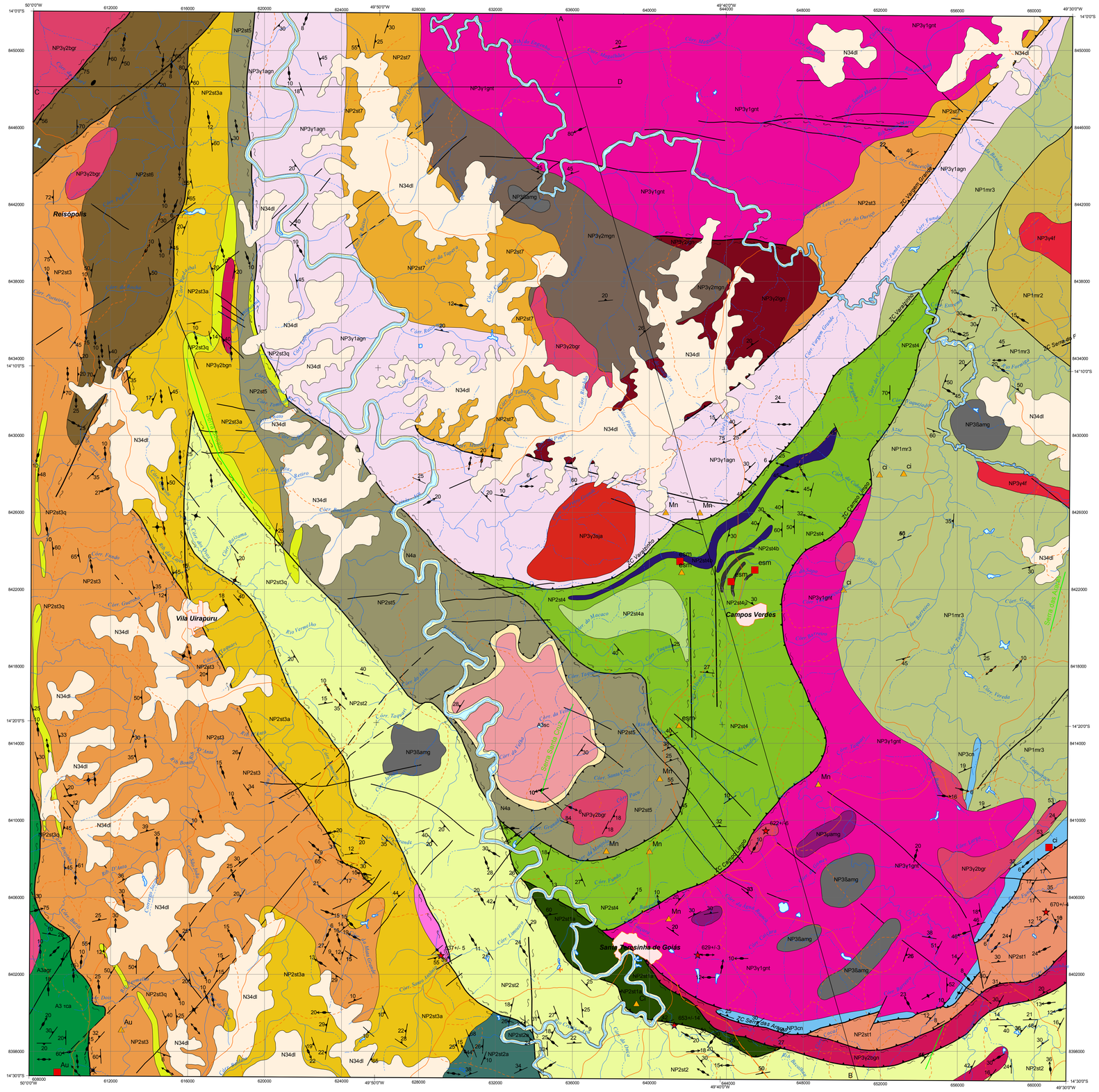

SEÇÃO GEOLÓGICA ESQUEMÁTICA A - B

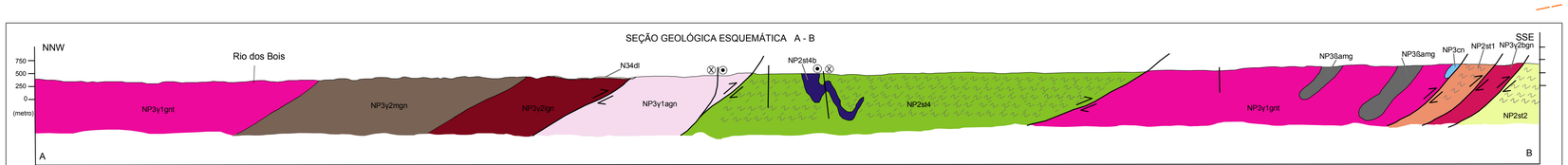

SEÇÃO GEOLÓGICA ESQUEMÁTICA C - D

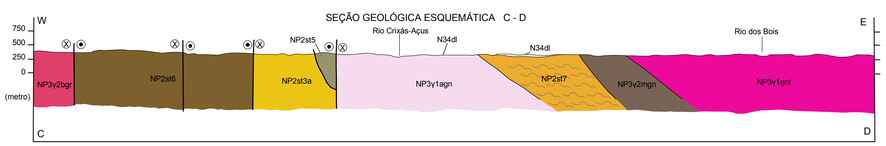

ESCALA HORIZONTAL 1:100.000
ESCALA VERTICAL 1:50.000

LEGENDA
RELAÇÕES TECTONO-ESTRATIGRÁFICAS

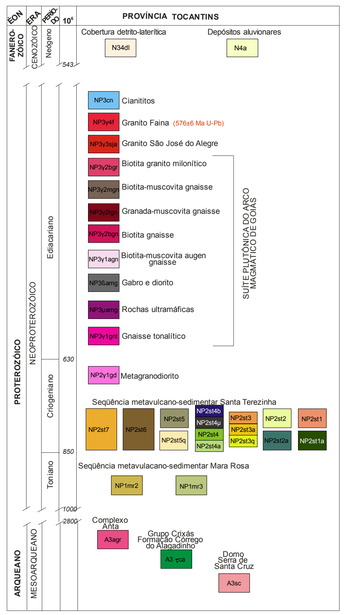

UNIDADES GEOLÓGICAS

CENOZÓICO

N4a Aluvião - areia, argila e cascalho

N34dl Argilas, areias avermelhadas e laterita

NEOPROTEROZÓICO (NP)

Cianitito

NP3cn Cianitito, cianita quartzito, cianita-quartzo-muscovita xisto e cianita milonito

Granito Faina

NP3y4f Biotita granito e leucogranitos a duas micas, com fácies granodiorítica subordinada (576±6 Ma U-Pb)

Granito São José Alegre

NP3y3sjs Biotita granito porfirítico

SUÍTE PLUTÔNICA DO ARCO MAGMÁTICO DE GOIÁS

NP3y2bgr Biotita augen gnaisse milonítico (U-Pb em zircão 622±6 Ma)

NP3y2mgn Biotita-muscovita gnaisse granodiorítico

NP3y2ign Leucognaisse milonítico

NP3y2bgr Biotita gnaisse, metagranodiorito e metaquartzo monzonito

NP3y1agn Augen gnaisse granítico a tonalítico

NP3ß3amg Gabro e diorito

NP3uam Esteatito, talco xisto, anfibólio-talco xisto

NP3y1gnt Biotita-hornblenda gnaisse e epidoto-hornblenda gnaisse (U-Pb zircão 629±3 Ma)

NP3y1gt Granodiorito cinza, fino a médio, foliado, às vezes bandado (U-Pb zircão 637±5 Ma)

SEQÜÊNCIA METAVULCANO-SEDIMENTAR SANTA TERESINHA

NP2st7 Muscovita-quartzo xisto branco a cinza claro, magnetita-muscovita xisto, com intercalações de formação ferromanganesífera

NP2st6 Associação de biotita-muscovita xisto, muscovita-biotita xisto, biotita-muscovita-quartzo xisto, biotita-muscovita gnaisse, anfibolito fino a médio, epidoto anfibolito, granada anfibolito e formações ferríferas bandadas

NP2st5 Clorita-biotita-muscovita xisto feldspático, eventualmente com granada, epidoto e carbonato, com intercalações de

NP2st5c hornblenda-epidoto xisto e camada basal de muscovita quartzito e muscovita-quartzo xisto (q)

NP2st4b Clorita-muscovita-quartzo xisto, com variações para clorita-quartzo xisto, granada-clorita quartzo xisto, magnetita-clorita

NP2st4j xisto, carbonato-clorita xisto, clorita xisto, cloritito, formação ferrífera, gondito; inclui camadas de magnetita quartzito com

NP2st4 turmalinito (a), magnetita-muscovita xisto com turmalina (b) e de talco xisto, clorita-talco xisto, tremolita-talco xisto, dolomita

NP2st4a xisto, biotitito contendo esmeralda (µ)

NP2st3 Biotita-muscovita e muscovita-biotita xisto feldspático, com presença freqüente de granada, clorita, zoizita, epidoto e

NP2st3a carbonato; intercalações de calcixisto e rocha calcissilicática; interdigita-se com muscovita xisto e muscovita-quartzo xisto

NP2st3c branco (a), às vezes com porfiroblastos de granada, eventualmente estaurolita e clorítóide; junto à base ocorrem camadas métricas a decamétricas de muscovita quartzito e muscovita-quartzo xisto (q)

NP2st2 Muscovita-clorita xisto, clorita-muscovita xisto, clorita-quartzo xisto, biotita-muscovita-clorita xisto, granada-muscovita-clorita

NP2st2a xisto, magnetita-clorita xisto, xisto feldspático, anfibólio xisto, anfibolito e clorita-tremolita xisto (a) (653±7 Ma U-Pb zircão)

NP2st1 Clorita-muscovita xisto, muscovita-quartzo xisto associado a anfibolito fino, epidoto anfibolito, meta-andesito pórfiro,

NP2st1a anfibolito médio a grosso, epidosito, hornblenda-granada-muscovita xisto, epidoto-biotita xisto (a) (670±4 Ma U-Pb)

SEQÜÊNCIA METAVULCANO-SEDIMENTAR MARA ROSA

NP1mr3 Biotita-muscovita-quartzo xisto, granada-muscovita xisto, biotita xisto feldspático, quartzo-muscovita xisto, quartzito; intercalações de anfibolito, biotita gnaisse, epidoto-biotita gnaisse, biotita-muscovita gnaisse

NP1mr2 Granada-estaurolita-muscovita-biotita xisto, cianita-granada-biotita xisto, biotita-quartzo xisto; intercalações de metachert e gondito

ARQUEANO (A)

COMPLEXO ANTA

A3agr Biotita tonalito cinza, foliado

GRUPO CRIXÁS: Formação Córrego do Alagadinho

A3 grca Serpentinito, talco xisto, anfibólio-talco xisto, actinolita-clorita xisto, filito carbonoso, formação ferrífera, formação manganesífera

DOMO SERRA DE SANTA CRUZ

A3sc Biotita gnaisse bandado, eventualmente com granada e horblenda, contendo mobilizados quartzo-feldspáticos

CONVENÇÕES GEOLÓGICAS

- Foliação
- Foliação horizontal
- Foliação vertical
- Lineação de estiramento
- Falha encoberta
- Falha indiscriminada
- Falha ou fratura
- Falha transcorrente aproximada
- Janela estrutural (fenster)
- Contatos
- Lineação de estiramento vertical
- Lineação de estiramento horizontal
- Zona de cisalhamento compressional
- Zona de cisalhamento transcorrente aproximada
- Zona de cisalhamento transcorrente dextral
- Zona de cisalhamento transcorrente sinistral
- Falha compressional em seção
- Zona de cisalhamento transcorrente dextral em seção
- Zona de cisalhamento transcorrente sinistral em seção

Recursos minerais
- Depósito
- Ocorrência

ci- cianita, Mn - manganês, esm - esmeralda, Au - ouro

Análises Geocronológicas
- Datação U - Pb (TIMS)
- Idade de cristalização

CONVENÇÕES CARTOGRÁFICAS

- Caminho
- Estrada Pavimentada
- Estrada sem Pavimentação Tráfego Periódico
- Estrada sem Pavimentação Tráfego Permanente
- Cidade / Localidade
- Rio Intermitente
- Rio Perene
- Massa de água
- Serra — Acidente Geográfico / Serra

MAPA GEOLÓGICO

ESCALA 1:100.000

2 1 0 2 4 6 km

PROJEÇÃO UNIVERSAL TRANSVERSA DE MERCATOR

Origem da quilometragem UTM: equador e Meridiano Central 51ºW acrescidas as constantes: 10.000Km e 500Km, respectivamente.

Datum horizontal: WGS84

Declinação magnética do centro da folha em 1974 de 15º 19', cresce anualmente 9'.

2007

CONTRATO - CPRM - UnB Nº 071/PR/2005

ARTICULAÇÃO DA FOLHA

SD-22-X-C-V	SD-22-X-C-VI	MUTUNÓPOLIS
GOVERNADOR LEONINO	SANTA TEREZINHA DE GOIÁS	CAMPINORTE
AURIVERDE	ITAPACÍ	URUAÇU

13°30' 14° 14°30' 15° 50°30' 50° 49°30' 49°

LOCALIZAÇÃO DA FOLHA

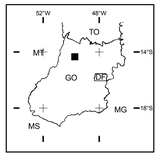

CRÉDITO DA BASE CARTOGRÁFICA

Base Planimétrica digital obtida da carta impressa Santa Terezinha de Goiás publicada em 1976 pela DSG, ajustada às imagens do Mosaico GeoCover - 2.000, ortorretificado e georreferenciado segundo o datum WGS84, de imagens ETM+ do Landsat 7 resultante da fusão das bandas 7,4,2 e 8, com resolução espacial de 14,25 metros. Esta base foi editada e atualizada pela Divisão de Cartografia - DICART, para atender ao mapeamento temático do Serviço Geológico do Brasil - CPRM

AUTORES
Reinhardt Adolfo Fuck
Elton Luiz Dantas
Diogo Alves De Sordi
Marcus Flávio Nogueira Chiarini
Tati de Almeida

COLABORADORES
Caroline Meira Lopes de Castro Joffily
Claudiney Gouveia de Oliveira
Márcio Martins Pimentel
Hardy Jost
Sergio Luiz Junges.
BASE CARTOGRÁFICA DIGITAL
Tati de Almeida
Cristiane Oliveira de Moura
GEOPROCESSAMENTO
Tati de Almeida

COORDENAÇÃO GERAL
Carlos J.S. de Alvarenga

CPRM
Serviço Geológico do Brasil

SUPERVISÃO TÉCNICA
Luiz Carlos da Silva

APOIO TÉCNICO
DEGEO: Edilton José dos Santos

REVISÃO DA CARTOGRAFIA GEOLÓGICA
DIGEOB: Inácio Medeiros Delgado, Reginaldo Alves dos Santos, Nelson Custódio Silveira Filho, Augusto Pedreira
Apoio Técnico de Campo: Reginaldo Alves dos Santos

REVISÃO DA CARTOGRAFIA DIGITAL E CONTROLE DE ENTRADA DE DADOS NO GEOBANK
DIGEOP: João Henrique Gonçalves, Antonio Rabelo Sampaio, Patrícia Duringer Jacques, Maria Angélica Silva B. F. Ramos, Elias Bernard da S. do E. Santo, Adelina Aduma Magalhães, Tatiana Santos Araújo